

**RELACIONES ENTRE EL FOSFORO TOTAL
Y EL FOSFORO CAMBIABLE ISOTÓPICAMENTE DE
CUATRO TIPOS DE SUELOS DE ANDALUCIA OCCIDENTAL.**

por

Luis Madrid Sánchez del Villar

Trabajo presentado para aspirar
a la Reválida del Grado de Licen-
ciado en Ciencias (Sección de Quí-
micas).

Sevilla, Enero 1.965

UNIVERSIDAD DE SEVILLA

FACULTAD DE CIENCIAS

**RELACIONES ENTRE EL FOSFORO TOTAL
Y EL FOSFORO CAMBIABLE ISOTÓPICAMENTE EN
CUATRO TIPOS DE SUELOS DE ANDALUCÍA OCCIDENTAL**

por

Luis Madrid Sánchez del Villar

**Trabajo presentado para optar
a la Reválida del Grado de Licen-
ciatura en Ciencias (Sección de
Química)**

Sevilla, Enero 1966

Mi más sincero agradecimiento al profesor

Dr. D. Francisco González García y al Dr. D. Pedro
de Aramburu y Cegallos.

S U M A R I O

	Página
I. INTRODUCCIÓN	1
1.1. Objetivo 1	
1.2. Revisión bibliográfica 3	
II. DESCRIPCIÓN DE LOS SUELOS 10	
2.1. Clasificación 10	
III. MÉTODOS EXPERIMENTALES 13	
3.1. Preparación de las muestras 13	
3.2. Cambio isotópico 13	
3.3. Determinación de radiactividad 21	
3.4. Determinación del fósforo en las soluciones 25	
3.5. Determinación del fósforo total en los suelos 29	
3.6. Determinación de calcio 29	
3.7. Determinación del contenido en carbonato calcio de los suelos 30	
3.8. Determinación del contenido en arcilla de los suelos 31	
3.9. Determinación de pH en las suspensiones 32	
IV. RESULTADOS Y DISCUSIÓN 33	
V. CONCLUSIONES 51	
BIBLIOGRAFÍA	

INTRODUCCIÓN

El fósforo es un elemento imprescindible en la nutrición vegetal. Por intervenir en todos los procesos metabólicos y de crecimiento en planta, sin duda, el nutriente que condiciona en mayor grado el desarrollo de las cosechas mundiales.

El fósforo se asimila por las plantas, desde el suelo, principalmente en forma de ión PO_4^{3-} , único existente en las condiciones propias de las raíces. No está demostrado todavía si otras formas moleculares en que puede presentarse el fósforo, como fósforo ligado a radicales orgánicos, son asimiladas por las plantas, pero en cualquier caso y en ausencia de experimentos concretos que muestran lo contrario, se cree en la actualidad que la mayor parte de la nutrición fosfatada vegetal se realiza mediante la absorción por las raíces del ión monofosfato, presente en la solución de los suelos.

El ión monofosfato que se encuentra en la disolución del suelo penetra a las raíces de las plantas, proviene de la disolución e hidrólisis de ortofosfatos y fosfatos orgánicos ya existentes en el suelo o de los fertilizantes fosfatados recién incorporados al mismo.

Según esto, el fósforo natural y el añadido a los suelos pueden dividirse en dos grandes grupos: fósforo orgánico proveniente de la descomposición de las plantas e incorporación de abones orgánicos y fósforo inorgánico presente en los minerales del suelo y en los fertilizantes.

El fósforo contenido en la materia orgánica puede representar hasta el 30% del fósforo total del suelo según Fuller y Mc George (1) y Greb (2). Los suelos españoles en general y éstos que estudiamos ahora en particular, tienen contenidos en materia orgánica

muy pequeños, por lo que la contribución del fósforo orgánico al fósforo total debe ser pequeña también. Consideraremos en lo que sigue que todo el fósforo dispuesto para ser tomado por las plantas existente en estos suelos es fósforo que ya se encuentra, o es fácilmente convertible, en iones monofosfato.

La inmensa mayoría de los suelos poseen una dotación propia insuficiente de fósforo, como para nutrir con él la satisfactoriamente una cosecha anual. Por ello a todos los suelos de cultivo les da al dirigentes fertilizantes fosfatados en cantidad suficiente. Este hecho plantea el problema de estimar la cantidad de fertilizante que es necesario aplicar para suministrar al suelo el nivel de fósforo disponible para la correcta nutrición vegetal o, en otros términos, la determinación de las dosis convenientes de fertilizantes fosfatados que deben incorporarse a cada suelo. La determinación de estas dosis no es un problema sencillo sino que se complica por la razón de que cada clase de suelo es capaz de retener, insolubilizando, proporciones diferentes del fósforo añadido, así como porque cada cultivo tiene exigencias distintas en fósforo. A estas circunstancias se suman los factores climáticos interrelacionando con su influencia en el desarrollo vegetal, disponibilidad de agua, etc., por lo que indirectamente representan cuantioso en la nutrición mineral y desde luego en la fosfatada de cada cosecha.

Por estas razones el primer problema que se ha tratado de resolver por los estudiosos de la química agrícola es el de encontrar un procedimiento que permita la determinación de la cantidad de fósforo inorgánico que un suelo determinado puede ceder a un cultivo. En principio este fósforo se llama "fósforo asimilable de los suelos". El concepto asimilable supone sin embargo la existencia de una planta que asimile y cumpla las necesidades

en fósforo de cada especie vegetal son diferentes la expresión "fósforo asimilable" no es un factor que dependa sólo del suelo. Por esta causa preferimos utilizar la denominación de "fósforo labil" en el sentido de fácilmente disponible en el suelo, como propiedad intrínseca de éste.

El procedimiento más directo para determinar la dosis correcta de fertilización fosfatada para un cultivo dado es la experimentación en el campo. Pagan suelo y cultivo fijos, el resultado dependerá solamente de los factores climáticos y de las variaciones utilizadas (dosis de abonado). Un número suficiente de experiencias permitirá la resolución del problema para cada suelo y cultivo.

No es posible sin embargo realizar experiencias para todos los suelos y cultivos, por lo que en la práctica es necesario recurrir a métodos de laboratorio.

Existe una gran cantidad de procedimientos para la "extracción" y determinación del fósforo labil de los suelos. Los más útiles consisten en extraer o llevar a disolución por procedimientos químicos apropiados, el fósforo más semejante posible al fósforo labil y correspondiente a una cosecha dada en suelo. Después esa cantidad de fósforo se determina dando la solución colorimétricamente.

La bondad del procedimiento está en la seguridad que tengamos de la equivalencia entre el fósforo extraído por el método de laboratorio en cuestión y el fósforo labil real de un suelo, determinado por experiencias de campo. Que esta equivalencia sea es fácil de encontrar lo prueba el hecho de que cada año se escriben varios trabajos en que se verifica un método antiguo o se propone otro completamente nuevo de determinación de fósforo labil. Los métodos químicos de laboratorio poseen la ventaja de ser más baratos y rápidos que las experiencias de campo.

4

Entre tanto método químico no es de extraer que en 1938 Harvey (3) propuso un método que utilizaba trazadores radiactivos, concretamente cambio isotópico con ^{32}P , para determinar la labilidad de compuestos fosfatados. Este procedimiento fue mejorado por Dr. Adiffe y col.(4), los cuales sentaron junto con Harvey(5) la base teórica por la que se rigen todos los procedimientos que, habiéndose desarrollado posteriormente, usan trazadores radiactivos para estudiar problemas de fertilidad.

El uso de los trazadores radiactivos para estudiar este tipo de problema ofrece una gran ventaja sobre otros métodos químicos que usan procedimientos de extracción para determinar el fósforo labil de los suelos. Si el extractante químico usado fuera agua o una solución de concentración electrofísica similar a la correspondiente a la salinidad del suelo entonces no habría dificultades para encontrar la equivalencia entre el fósforo extraído y el fósforo labil que realmente tiene el suelo. La dificultad estriba en el hecho de que un extractante de tal naturaleza extrae desde el suelo a la solución cantidades pequeñas de fósforo que son después difícilmente colorimetrables. Hay que recurrir por tanto a extractantes con cierto poder de disolución, no solo de "extracción", en el sentido restringido que se quisiera dar al concepto en determinaciones de fertilidad, con lo cual es difícil asegurar que la cantidad de fósforo colorimetrado corresponda directamente con la cantidad de fósforo labil del suelo.

En los métodos que usan técnicas de cambio isotópico se usa un electrolito fuerte, por ejemplo HCl, que sea capaz de servir como medio a la desprendida y adsorción de iones fosfatos desde las superficies del suelo hasta la solución, pero evitando cuidadosamente que se produzca algún fenómeno de disolución. En estas condiciones tendrá lugar una reacción unipolar que pondrá de manifiesto

cuantas posiciones ocupadas por grupos fosfato, en la superficie del suelo, están en disposición de movilizarse y pasar a la solución. La medida de la cantidad de grupos fosfato capaces de esta movilización se hace a través de la medida del decrecimiento con el tiempo de la radioactividad de una solución en que existe suelo, con respecto a otra que poseyendo la misma cantidad exactamente de radioactividad no posee suelo alguno. La radioactividad medida consiste en iones fosfato marcados con el isotopo radioativo ^{32}P . En estas condiciones algunas de los fosfatos naturales, esto es conteniendo sólo ^{31}P , rápidamente desalojables o labiles de la superficie del suelo serán reemplazados unimoleculamente mediante una reacción de primer orden, por otros fosfatos que contengan ^{32}P . De esta forma y según la ley que rige estos procesos (6), se llegará a un estado de equilibrio en que todo reemplazo de un fosfato en la superficie del suelo se hace al azar y con igualdad de probabilidades por uno cualquiera de los isotopos ^{31}P y ^{32}P . En este caso se habrá llegado al equilibrio isotópico del medio, la radioactividad de la solución no decrecerá debido al paso de iones $^{32}\text{P}^{+3}$ al suelo y la entropía del conjunto será máxima. De esta forma y dada la igualdad química de los isotopos ^{31}P y ^{32}P , la única fuerza que se pone en juego es la labilidad propia de los fosfatos situados en las superficies de cada suelo, esto es, su tendencia a pasar a la solución. El cambio isotópico será más intenso cuanto más fósforo labil exista en el suelo. El hecho de que existe poco fósforo en las soluciones no es obstáculo en este caso, pues la sensibilidad de los métodos radioactivos permite su medida con gran exactitud.

Tras esta breve exposición de las diferentes formas de determinar el estado de fertilidad de los suelos respecto a su contenido en fósforo queremos indicar que la bibliografía acumulada

últimamente sobre este tema en tan extensa que nos limitamos aquí a indicar los trabajos comprendidos más importantes sobre determinación de fósforo por métodos puramente químicos, Wild (7), Dean (8), y más recientemente Kurtz (9), Gleem (10), y Newall (11), y aquella en que se resumen los trabajos que usan trazadores radiactivos, Herbert (12), Dean (13), Huddingsly (14), y Barbier (15), en la seguridad de que en sus bibliografías pueden encontrarse resumidos y comprendidos todos los restantes.

El método de cambio isotópico empleado en este trabajo fue elaborado y descrito por Arribalzaga (16). Posteriormente este método fue refrendado por otros y demostró ser de una gran exactitud. El coeficiente de correlación encontrado entre el método empleado y el fósforo labil de 37 suelos de características muy distintas es de + 0.933 (17).

Usándolo estando en condiciones de determinar con una gran exactitud el contenido en fósforo labil de un suelo.

Este conocimiento es de una gran importancia si se aplica a establecer la fertilidad del fósforo de los diferentes tipos de suelos de una región. Son varios los países europeos que están tratando actualmente de establecer el grado de fertilidad respecto al fósforo de sus suelos más representativos. Este trabajo es parte de un plan en el que planean estudiarse exhaustivamente diferentes tipos de suelos para establecer en qué márgenes varía su contenido en fósforo labil.

El fósforo labil de un suelo es una propiedad del mismo, en el sentido que da Jenny (18) a este concepto. Por tanto depende de otra serie de propiedades de los suelos, tales como sus agentes formadores, su contenido en fósforo total, etc.

Hace más de un siglo, Bay fué el primero en observar que al añadir a un suelo fósforo soluble éste se insolabilizaba de

tal forma que una cosecha cualquiera sembrada después de fertilizar el suelo no era capaz de extraer del mismo tanto fósforo como lo había añadido. A este fenómeno se le dio el nombre de fijación de los fosfatos.

Posteriormente se observó que el fósforo fijado en suelos era capaz de ser utilizado por cosechas posteriores. Se cambió el término "fijado" por "adsorbido", queriendo indicar de esta forma que no se llegaba a inaccesibilizar totalmente el fósforo añadido.

Estudiando el problema "in vitro" se observó que los fosfatos reaccionaban con los minerales constituyentes de las arcillas y con el carbonato calcico, inaccesibilizándose o "adsorbéndose" sobre sus superficies. Hasta entonces se ha atribuido a estos constituyentes de los suelos calizos la responsabilidad de la adsorción de los fertilizantes fosfatados. De los trabajos realizados al respecto, se ha deducido que son el tamaño y la clase del material reaccionante los factores más importantes en la fijación de los fosfatos (19) (20) (21) (22) (23) (24) (25).

Una vez adsorbido el fósforo sobre los componentes arcilla y carbonato calcico del suelo, puede pasar de nuevo a la solución del suelo, desorbiéndose, y ser asimilado por las plantas.

A este respecto Arribalzaga ha encontrado que el fósforo adsorbido sobre la fracción arcilla (26) es más labil que el fósforo adsorbido sobre el carbonato calcico (27) y además que cuanto más arcilla o carbonato calcico posea un suelo, más fósforo labil se encuentra en relación a adsorbido sobre estas fracciones.

Según lo anterior, suelos que tengan idénticos agentes fijadores, al crecer su contenido en fósforo total, poserán más fósforo labil. Este fósforo será tanto más labil cuanto más arcilla posean estos suelos.

Se trata entonces de encontrar una serie de tipos distintos de suelos que posean una cantidad de fósforo total similar. Para ello deben elegirse una serie de tipos de suelos, o bien vírgenes todos ellos, lo cual no es sencillo, o suelos que hubieran recibido igual tratamiento agrícola, incluida fertilización. Estas últimas condiciones las rompen los suelos, muy diferentes entre sí y bien definidos en cada caso, de una parcela de tierra de labor perteneciente a la finca "Matco Pablo" del término de Alcalá de Guadaira.

La distribución de los suelos tomados en la parcela "El Pozoón" de esta finca, aparecen en la figura 1. Estos suelos se encuentran en una pendiente y su descripción se dará a continuación.

Apuntamos anteriormente que la cantidad de fósforo labil que tiene un suelo depende de cuánto fósforo total posea el suelo. Así el fósforo total es el factor de "capacidad" del suelo que deriva el fósforo labil. Pero también digo que este fósforo labil podía ser tanto más labil cuando estuviera en relación con las arenas del suelo. Se introduce así un factor de "estabilidad" que afecta a la clase de fósforo labil de un suelo. Ambos factores, aunque discutidos en cierto tiempo, son admitidos hoy plenamente gracias a los magníficos trabajos de Schoffield(28).

En toda pendiente el suelo más próximo a la cima se encuentra desgarrado por la erosión, con lo que su contenido en arcilla es menor, pues esta fracción fina será la arrastrada más fácilmente. Las partes bajas de la loma recogerán esta arcilla, proveniente de las partes más altas, con lo que se diluirá su contenido en carbonato cálcico, siendo éste menor que en las partes altas. La loma de la finca "Matco Pablo" de la que tomamos las muestras, nos permite, según esto, escoger varias mu-

II. DESCRIPCIONES DE LOS SUELOS

Existe una estrecha relación entre la naturaleza de los materiales geológicos que forman el substrato de una región y los suelos que sobre ellos se desarrollan.

El suelo es el resultado de la erosión y transformación de las rocas y sedimentos por una complicada sucesión de factores físicos, químicos y biológicos determinados por los agentes externos, agua, aire, calor, plantas y animales que hemos llamado antes agentes formadores del suelo.

Un estudio de los suelos de la finca "Matteo Pablo", de los que tomamos las muestras en estudio, fue realizado con gran detenimiento por el C. E. D. A. C. (29). En él se expone como los suelos de esta finca se han desarrollado en general a partir de calizas del Mioceno medio e inferior. Bajo estas calizas, en las laderas, aparecen margas constituidas fundamentalmente por arcillas amarillo-verdosas. Así pues, los terrenos de esta finca pertenecen en su totalidad a la serie ferraria.

Empezando por la zona más elevada de la colina en que tomamos las muestras encontramos un suelo definido como tipo "suelo rojo mediterráneo arenoso". Es un suelo de color rojo claro, suficientemente profundo, y con fuerte proporción de carbonato cálcico. Se tomaron tres muestras de este suelo, que aparecen designadas por Sc-7, Sc-8 y Sc-9 en la figura 1 y a través de todo el trabajo. La descripción de un perfil de este suelo es la siguiente, según aparece en el estudio de la finca anteriormente citado (29):

Fig. 1

Profundidad
cm.

0 - 30

Observaciones.

Pardo rojizo, arenas fino, calizo,
alterrojado, desarronable, buenas aires-
ejada y penetrabilidad. Se apelmaza más
a partir de los 10 cm.

30 - 50

Rojo caldera, suelo compacto, lisquenoso,
calizo, con abundantes puntos calizos,
poroso, desarronable con más dificultad.

50 - 100

Más claro, rosado, con frecuentes man-
chas blancas de caliza deleznable, alge-
josa formando gránulos fácilmente desar-
rrollables.

100 -

Aparecen trocillos calizos cristalizados
blancos, suelo amarillento.

Geología: Miocene marino.

Topografía: Casi llana, sin nuevo pendiente.

Drenaje: Bueno.

Tipo de suelo: Suelo rojo mediterráneo arenoso.

Las tres muestras poseen un bajo contenido en arcilla oer-
cane al 16% según se puede ver en los datos de la tabla I. El con-
tenido en carbonato calíceo presenta mayor variación desde 23,6%
para la muestra Be-2 hasta 34,8% para la muestra Be-3. Los conte-
nidos en fósforo total son de los más altos de todas las muestras
estudiadas y, aunque bajos en general, puede decirse que estos sue-
los son los menos deficitarios. Desde el punto de vista de reten-
ción del fósforo aplicado como fertilizante estas tres muestras
no debían ser las que poseyeran mayor contenido en fósforo total.

de una circunstancia que parece sólo explicable si supusemos que este tipo de suelo ha sido más fertilizado que los restantes. Esto impone una contrariedad según se deduce de lo anteriormente expuesto. Dada la relativamente pequeña diferencia entre el fósforo total de todos los tipos de suelos en estudio, esperamos que no constituya una dificultad mayor en la interpretación de los resultados.

Los pH de estos muestras como en general de todos los suelos estudiados, son muy próximos a 7. Son pues suelos neutros.

Inmediatamente debajo de estos suelos se tomaron dos muestras denominadas Sc-10 y Sc-11 que corresponden a una xero-rendzina. Estos suelos forman áreas muy reducidas y de carácter distinto a las de los suelos colindantes. Pertenecen geológicamente al oligoceno y están formados sobre substratos de piedra caliza, tosca, que aflora en varios cauces, son suelos muy superficiales.

La descripción de su perfil es la siguiente:

Profundidad cm.	Observaciones.
0 - 20	Grisáceo, muy claro, calizo, suelto con abundantes trozos de roca caliza.
20 --	Aparece la tosca caliza.

Geología: Oligoceno.

Topografía: Ladera rápida.

Drenaje: medio.

Tipo de suelo: xero-rendzina.

Este suelo puede considerarse una excepción por su pequeña extensión, entre el resto de los estudiados. Es muy poco frecuente en

Es una circunstancia que parece sólo explicable si suponemos que este tipo de suelo ha sido más fertilizado que los restantes. Esto supone una contrariedad según se deduce de lo anteriormente expuesto. Dada la relativamente pequeña diferencia entre el fósforo total de todos los tipos de suelos en estudio, esperamos que no constituya una dificultad mayor en la interpretación de los resultados.

Los pH de estas muestras como en general de todos los suelos estudiados, son muy próximos a 7. Son pues suelos neutros.

Inmediatamente debajo de estos suelos se tomaron dos muestras denominadas Sc-10 y Sc-11 que corresponden a una xero-rendaina. Estos suelos forman áreas muy reducidas y de carácter distinto a las de los suelos colindantes. Pertenecen geológicamente al oligoceno y están formados sobre substratos de piedra caliza, tosca, que aflora en varios caños. Son suelos muy superficiales.

La descripción de su perfil es la siguiente:

Profundidad cm.	Observaciones.
0 - 20	Grisáceo, muy claro, calizo, suelto con abundantes trozos de roca caliza.
20 --	Aparece la tosca caliza.

Geología: Oligoceno.

Topografía: Ladera rápida.

Drenaje: medio.

Tipo de suelo: Xero-rendaina.

Este suelo puede considerarse una excepción por su pequeña extensión, entre el resto de los estudiados. Es muy poco fructífero en

esta fina, aunque en otras localidades próximas alcanza extensiones muy grandes. El contenido en arcilla de estas dos muestras es bajo, similar al del suelo anterior. Los contenidos en carbonato cálcico son poco elevados, sin siendo suelos fuertemente calizos, si nos referimos a los contenidos de carbonato cálcico frecuentes en este tipo de suelo. El contenido medio de fósforo total es de unos 0.1 mg.P/100g. de suelo, inferior al de los suelos anteriores.

A continuación se tomaron dos muestras de otro suelo caracterizado como "Loha margoso bético". Las muestras tomadas se designan por Sc-12 y Sc-13. Un perfil de este suelo puede definirse como sigue:

Profundidad. cm. de la superficie.	Observaciones.
0 - 35	Color pardo kaki, granular, calizo, agrietado, arcilloso, estructura compacta.
35 - 110	Color pardo kaki, más plástico, calizo con partos y vetillas de carbonato cálcico, fractura poliédrica, con sombras amarillentas muy arcillosas y manchas de óxido de hierro reducido que son más frecuentes con la profundidad.

Geológico: Mioceno marino inferior (fase de margos)

Topográfico: Ladera.

Erosión: Externo medio, interno suave.

Tipo de suelo: Loha margoso bético.

Este tipo de suelo por su naturaleza y caracteres morfológicos tiene un gran interés desde el punto de vista agrícola, aun-

que por su pesadez son frecuentemente difíciles de trabajar. Los dos muestras poseen un alto contenido en fracción arcilla, próximo al 40%. El contenido en carbonato cálcico es algo elevado para lo que corresponde a este tipo de suelos. Los contenidos en fósforo total son iguales a los de los otros tipos de suelos estudiados, salvo el primero de los resallados, el suelo rojo mediiterráneo arenoso, que ya dijimos era el más alto de todos.

Por último, tomamos dos muestras de un cuarto tipo de suelo que puede calificarse como una tierra negra andaluza. En este trabajo se denominan estas muestras por Sc-14 y Sc-15 y se encuentran situadas en la zona más baja, casi llana, de la ladera.

Este tipo de suelo se encuentra siempre en depresiones y posiblemente se formaron a finales del terciario en el cambio de régimen marítimo a lacustre. Son suelos desarrollados en circunstancias redactoras y en su formación influyen los arrastres pluviales de las alturas próximas. La descripción de su perfil es como sigue:

Profundidad
cm.

0 - 50

Observaciones.

Color gris oscuro, alterronado, calizo, con puntitos de carbonato cálcico, algo compacto, granular, desmoronable, con cierta dificultad. Existe alguna tosca superficial.

Sc - 116

Más oscuro, con trocillos y trozos aislados de caliza blanca y amarillenta, más plástico, textura arenocarelliosa, más clara con la profundidad y mayor contenido en carbonato cálcico.

Geología: ~~Mesono marino.~~

Topografía: zona más llana en loma de suave pendiente.

Drenaje: medio.

Tipo de suelos: Tierra suelta andaluza sobre roca caliza.

Las dos muestras estudiadas poseen contenidos muy dispares de arcillas. Esto se puede deber a que la zona de la muestra 9e-16 ha recibido más arrastres de la zona inmediatamente superior. Sus contenidos en carbonato cálcico y fósforo total son similares a los de las muestras de los otros tipos de suelos salvo los correspondientes al suelo rojo mediterráneo arenoso.

III. MÉTODOS EXPERIMENTALES

Preparación de las muestras. -

Los suelos se secaron al aire y se molieron para su tratamiento posterior, hasta un tamaño uniforme de partículas determinado por el tamiz número 20 del sistema A. F. N. O. R., correspondiente a una abertura de malla de 0,362 mm. Despues se almacenan para su uso.

Las determinaciones que se habrían de realizar en estas muestras serían las de fósforo total (P_t), contenido en óxido, porcentaje de carbonato soluble, calcio en solución y fósforo labil (P_l), el cual se dividió a su vez en dos fracciones: fósforo cambiante rápidamente (P_2) y fósforo cambiante lentamente (P_1).

Caótico iónico. -

Partes alfenotadas de 0,5 g. de suelo, pesadas con una exactitud de ± 1 mg., se colocaron en frascos de vidrio, a los que se añadieron 100 ml. de una solución $2 \cdot 10^{-2}$ N de cloruro potásico. Para evitar desarrollo microbiológico se añadieron unas gotas de cloroformo. A continuación, los frascos se pusieron en un agitador de 60 vibraciones por minuto, y todo ello en un termostato a 30°C. La agitación es suficientemente energética como para que todo el suelo esté en suspensión, lográndose así un medio semi-homogéneo.

La concentración de la solución empleada para suspender el suelo posee una fuerza iónica suficientemente grande como para evitar cualquier efecto de fuerza iónica debida a otros electrolitos presentes en los suelos, ya que en estas condiciones los iones en solución del suelo no suelen pasar de una concentración

10^{-4} M. Como se dijo anteriormente, el cloruro potásico es un electrolito "inerte" respecto a la solución del suelo, pues no altera grandemente su estructura interna y permite, por otra parte, una perfecta difusión de los iones fósforo y una buena realización del cambio isotópico. Además no tiene efecto depresivo sobre el potencial de fósforo del suelo, por lo que este fósforo pasa en suficiente cantidad a la solución, pudiéndose determinar colorimétricamente.

El pH de esta solución medio es aproximadamente de 5,12.

Los frascos, antes de añadirles el isotopo radiactivo, se mantienen 48 horas en agitación, para que la mayorfa del fósforo que se pase a la solución se encuentre en ella antes del mercado, por lo que la variación del contenido en fósforo de las soluciones durante el subsiguiente cambio isotópico es muy pequeña. De esta forma se logra que el medio en que se realiza el cambio isotópico sea lo más estable posible.

Después de esta agitación previa se añaden 0,5 ml. de solución conteniendo de 1 a $2\frac{1}{2}$ % de ^{32}P y alrededor de 0,05 % de ^{31}P como máximo, para no alterar apreciablemente la concentración en ^{31}P del medio.

El tiempo de agitación fué al menos de 200 horas, para tener la seguridad de que todo cambio apreciable en el equilibrio isotópico se produjo antes de finalizar el experimento.

Conociendo el fósforo en solución una vez alcanzado el equilibrio (es decir, después de las 200 horas de agitación) y el cociente de la radioactividad de la solución en el equilibrio y a tiempo cero, podemos calcular P_0 , fósforo total labil, mediante la fórmula:

$$P_0 = \left[\frac{31P_{eq}}{32P_t} \right]_\infty \quad (1)$$

Llamando P_{es} al fósforo en solución, y t_0 el cociente entre la radioactividad en un tiempo dado de la solución y la radioactividad a tiempo cero. El subíndice expresa tiempo, representando en éste caso el tiempo de equilibrio.

Una vez conocido P_{es} , interesa averiguar las diferentes fracciones de fósforo que forman este fósforo total labil. A dichas fracciones las llamamos fósforo cambiante rápidamente (P_2), fósforo cambiante lentamente (P_1) y fósforo en solución (P_{es}), de tal forma que:

$$P_{\text{es}} = P_2 + P_1 + P_{\text{es}} \quad (2)$$

Para determinar estas fracciones se usan dos métodos, uno muy detallado y otro más simplificado (30):

a) El primer método estudia la distribución de radioactividad entre el suelo y la solución, y el fósforo en solución, a diferentes tiempos, concretamente al cabo de 1, 3, 5, 15, 24, 48, 120 y 240 horas desde el momento del varado. Para ello se ponen en agitación ocho frascos conteniendo porciones alícuotas de 0,5 g. de un mismo suelo, retirando cada una al cabo del tiempo que le corresponde, y centrifugándolas a unas 15.000 revoluciones por minuto durante cinco minutos. Las soluciones claras se almacenan, para determinaciones posteriores de ^{32}p , ^{31}p y calcio, y con el suelo留ido se hacen determinaciones de pH.

b) El segundo procedimiento es mucho menos laborioso en el cálculo y experimentalmente, aunque no da una idea tan precisa como el anterior de la evolución respecto al tiempo. En este método sólo se hacen determinaciones duplicadas a 15 y 240 horas, y puede determinarse el fósforo labil, así como sus fracciones P_2 y P_1 con bastante exactitud, con gran ahorro de tiempo y material, respecto del método anterior.

Determinación de radioactividad.

Las soluciones se mueren con suficiente ^{32}P para que el aparato de medida registre un número grande de cuentas. No tiene mayor importancia la cantidad en sí de ^{32}P añadida, ya que se va a comparar con unas soluciones patrón. Si es imprescindible, naturalmente, que estos patrones tengan exactamente la misma radioactividad que los problemas.

Las soluciones patrón se preparan añadiendo a 100 ml. de cloruro potásico 2.10^{-3} M, sin suelo, la misma actividad que a los problemas. Estas soluciones deberán contener una cantidad de ^{32}P similar a la que se supone tergrün las soluciones del suelo, y se conservan en frascos iguales a los usados para los problemas. De esta forma, cualquier fenómeno de adsorción isotópica en las paredes de los frascos, o de otra fuente no controlable, influirá de igual forma en el patrón y en el problema.

Las soluciones patrón nos indicarán cuánto fósforo radiactivo existía en los problemas antes de comenzarse el cambio isotópico, radioactividad a tiempo cero, y si se mueren y contaron al mismo tiempo que los problemas, nos indicarán por diferencia cuánto ^{32}P ha tomado el suelo. Este método tiene la ventaja de corregir automáticamente la caída de actividad del isótopo en las soluciones con el tiempo. El isótopo que nos ocupa tiene una vida media de 14,5 días, lo que permite su uso en experiencias bastante largas. Su desintegración se realiza por emisión de partículas β^- de energía 1,71 M. e. v., suficiente para registrarlas en tubos Geiger - Müller incluso de pared gruesa de vidrio.

El problema cuya radioactividad hemos de medir se coloca en un tubo Geiger - Müller, tipo N-6 para líquidos de la casa 20th Century Electronics Ltd., conectado al aparato de registro. Este

consta de un amplificador de corriente de tipo F5008, un escáler tipo 1000X y una unidad de prueba tipo M553B, fabricados por Dynatron Radio Ltd.

Como operación previa para familiarizarnos con los métodos en que se usa material radiactivo, preparamos soluciones que contenían $3\text{ }\mu\text{e}$ de ^{32}P aproximadamente por ml. de solución, diluyendo las concentraciones que envía la Junta de Energía Nuclear. Con estas soluciones se prepararon triplicados que sirvieron para darnos seguridad en las operaciones de marcado. Se consiguieron de esta forma marcar soluciones que poseían actividades correspondientes a 20.194 cuentas por minuto (c. p. m.) con una desviación standard para tres repeticiones de sólo $\pm 0,41\%$.

A continuación, y con objeto de dominar el uso del contador, se determinó el "plateau" de un tubo Geiger - Müller. Para ello se fue aumentando el voltaje de operación de un tubo Geiger - Müller M-8 de la 20th Century Electronics Ltd. desde 1.340 voltios hasta 1.420 voltios. Se observó estudiando las cuentas registradas para diferentes voltajes según aparecen en la tabla II, que la pendiente del "plateau" es de 0,34 cuentas por voltio y que el voltaje de trabajo del tubo empleado son 1.340 voltios.

En casos en que el número de cuentas registrado sea grande, hay que corregir las cuentas perdidas a causa del "tiempo muerto" del tubo, tiempo que necesita el gas enrarecido que llena el tubo (en este caso un compuesto orgánico) para su recuperación, después de que el paso de una partícula radiactiva haya originado su descarga. Este tiempo es variable de un tubo a otro e incluso en un mismo tubo, pero se puede estimar del orden de $3 \cdot 10^{-4}$ seg. para este tipo de tubos. Es difícil conocer en cada caso el tiempo muerto o tiempo de recuperación necesario para que cada tubo esté en condiciones de registrar la llegada de otra parti-

Tabla II

**Determinación del "plateau"
de un tubo Geiger - Miller**

<u>Voltaje aplicando</u>	<u>C. P. M.</u>
1.040	12.949
1.080	13.367
1.120	13.674
1.160	13.815
1.200	13.865
1.240	13.891
1.280	13.893
1.320	13.898
1.360	14.153
1.400	14.690
1.440	16.870

"Plateau" entre 1.300 v. y 1.320 v. Pendiente: 0,34 cuentas/v.

Voltaje de trabajo: 1.240 v.

$\frac{S - T}{T} \times 100$

(4)

Aún es necesaria otra corrección, la llamada radioactividad de fondo, que es el número de cuentas que registra el aparato debidas a la radioactividad propia del laboratorio y a la radiación dura procedente de los rayos cósmicos. Será un número que habrá que restar al total, aunque su valor normalmente es pequeño, de unas 15 a 30 c. p. m. en nuestro caso, variando de un día a otro.

Determinación del fósforo en las soluciones. —

El fósforo en las soluciones lo hemos determinado por el método de Trung - Mayur (31). Previamente, y con objeto de familiarizarnos con la técnica colorimétrica, hemos estudiado la variación del color con el tiempo, para diversas concentraciones de fósforo. Dependemos este estudio porque este método colorimétrico era el menos exacto y más delicado de todos los que hemos a emplear. Con este método pueden determinarse con una precisión del ± 2% concentraciones tan bajas como 3 Y de P/100 ml. de solución, lo que arroja un error absoluto muy pequeño en la determinación total, pero un error relativo grande para cada medida si éstas no se hacen con absoluta confianza en el agenjo. Por otra parte el color, una vez desarrollado, varía con el tiempo, lo que obliga a intercalar lecturas y adiciones de cloruro estannoso si no queremos hacer excesivamente largo el proceso. Todo ello requiere como condición al haber del método un buen conocimiento de la técnica a emplear.

Se prepararon soluciones por triplicado con distintas concentraciones de fósforo. Estas soluciones de colorimetraron a tiempos que oscilaron entre 0 y 25 minutos, después de haber añadido

cula radiactiva. Por ello es necesario que los contadores de radioactividad posean un dispositivo que ofrezca una solución a esta deficiencia de los tubos. Este dispositivo se conoce con el nombre de unidad de prueba.

La unidad de prueba cumple dos funciones. La primera es de corrección del tiempo muerto, por medio de un tubo multivibrador que desconecta automáticamente después de cada descarga al tubo Geiger - Müller por un periodo de tiempo ligeramente superior a su propio tiempo muerto, exactamente $4 \cdot 10^{-4}$ seg.

Durante el tiempo que el tubo Geiger - Müller está descargado, habrá un cierto número de partículas γ que no se registrarán, pero este número de cuentas perdidas no dependen ya más que de la actividad del producto, según la fórmula

$$n = n_0 \cdot \frac{1}{1 - k_0 t} \quad (3)$$

En la cual, n_0 representa las cuentas por segundo marcadas por el aparato; t , el tiempo muerto, en nuestro caso de $4 \cdot 10^{-4}$ seg.; y n , el número de cuentas reales.

La segunda misión de la unidad de prueba es alimentar las pulsaciones procedentes del tubo Geiger - Müller, superpuestas a la corriente continua a que éste está sometido, dentro de la unidad estatal.

Puesto que el proceso de las desintegraciones es un fenómeno que ocurre al azar, estará gobernado por la ley de los grandes números. El tiempo de medida habrá de exagerarse de tal forma que el número total de cuentas tenga el error máximo permisible en cada caso. El valor probable de la desviación standard de las cuentas registradas es la raíz cuadrada del número de desintegraciones ocurridas, y el porcentaje de error será:

el reductor, y los valores medios de estos triplicados son los que aparecen en la tabla III.

En estos valores se comprueba que el color tiene estabilidad entre los diez y doce minutos después de añadir el cloruro estannoso. Se sugiere que la lectura de cada problema en las operaciones sucesivas se haga justamente diez minutos después de añadir el reactivo reductor.

La descripción del método la留aremos a continuación.

Reactivos: A) 25 g. de molibdato amónico se disuelven en 200 ml. de agua destilada, calentada a 60°C., y se deja enfriar. 200 ml. de ácido sulfúrico concentrado se llevan a 300 ml. con agua destilada, se enfriá y se añade lentamente y agitando la solución de molibdato, tras lo cual se deja enfriar la mezcla, envasando a continuación hasta un litro. El reactivo debe guardarse al abrigo de la luz.

B) 5 ml. de ClH concentrado se añaden a 1,25 g. de cloruro estannoso dihidratado; una vez disueltos, se envasa hasta 50 ml. con agua destilada. Este reactivo es estable durante una semana aproximadamente.

Operación: A una porción aliquota de problema se añaden 4 ml. del reactivo A, envasando a continuación hasta 100 ml. con agua destilada. A continuación se añaden 0,4 ml. de la solución B, leyendo el color igual producido a los 10 minutos.

El método es de una gran precisión, teniendo además la ventaja de que se puede determinar fósforo en márgenes muy amplios, ya que para cantidades pequeñas, en que el color es pobre, se pueden usar cubetas más largas, 4 cm., puesto que la extinción depende, no sólo de la concentración de fósforo, sino también de la distancia que recorre el rayo de luz a través del líquido colorante. Se emplean cubetas cortas, de hasta 0,5 cm., para colo-

Tábla III

**Determinación de la estabilidad
del color en la determinación de fósforo
en suero estandarizado**

Tiempo (min.)	Extinciones				
	8 Y	5 Y	10 Y	15 Y	20 Y
0	19,4	25,5	35,9	48,4	55,0
2	19,4	27,4	36,8	50,7	74,5
4	19,5	29,1	35,9	51,0	78,0
6	19,5	29,3	37,5	52,6	75,1
8	19,6	29,4	37,6	52,6	78,6
10	19,6	29,6	37,9	52,9	80,1
12	19,6	29,6	37,9	53,0	80,2
15	19,6	29,7	37,9	53,0	80,9
18	19,6	29,9	38,0	53,2	81,7
25	19,7	30,1	38,1	53,4	82,3

Los valores dadas de las extinciones son los medios de los triplicados colorimétrados.

rimetrar soluciones del orden de 100 y 2/100 ml.

Para concentraciones muy bajas de fósforo, es preferible emplear otro reactivo redactor, preparado a partir del anterior, diluyéndolo diez veces con ClH 5% (p/v). En este caso se usan 0,25 ml. de redactor para cada problema, y la estabilidad del color se alcanza a los 15 minutos.

El colorímetro usado en esta determinación es uno fabricado por Hilger, tipo Spekker, teniendo para las lecturas el filtro rojo número 6.

Determinación del fósforo total en los suelos. -

Para ello utilizamos el método de digestión con ácido perclórico sugerido por Hansen (32). Una muestra de 1 g. aproximadamente de suelo se trata con 10 ml. de ácido perclórico del 70% calentando en baño de arena moderadamente durante media hora, y fuertemente durante hora y media. Se deja enfriar, se diluye con 20 ml. de agua destilada, se calienta fuertemente durante media hora más y se filtra a continuación, lavando el extracto Hansen y el sedimento con agua hirviendo. El filtrado y los lavados se llevan a 100 ml., tomando de aquél la porción que convenga, según el contenido en fósforo que se espera tenga el suelo considerado.

Esta porción se trata con 25 ml. de reactivo vanadato - nolibato, llevando el total hasta 100 ml. con agua destilada. El color amarillo se desarrolla hasta intensidad máxima en un plazo de una hora, pero luego permanece constante durante días, si los extractos se guardan convenientemente de la luz.

La colorimetría de estas soluciones se realiza en el mismo colorímetro descrito en el apartado anterior, con filtro violeta número 1.

Diluyendo convenientemente la solución original o variando el tamaño de las cubetas puede determinarse fósforo total en los

medios prácticamente en cualquier margen.

Los resultados de estas determinaciones se expresan en la tabla I bajo el encabezado de fórmula total, P_1 .

La preparación del reagente se realiza a partir de las soluciones siguientes:

Solución A: 40 g. de sulfato amónico se disuelven en 600 ml. de agua destilada calentada a 50°C.

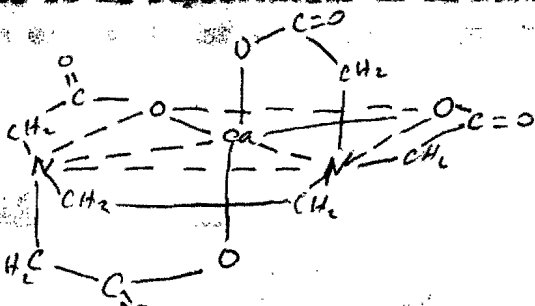
Solución B: 2,00 g. de uranato amónico se disuelven en 600 ml. de agua destilada hirviendo. Enfriar, y añadir 200 ml. de ácido nítrico concentrado.

Enfriar ambas soluciones y añadir A sobre B, completando a continuación hasta dos litros con agua destilada. La solución resultante es estable indefinidamente, si se guarda de la luz directa.

Determinación de calcio.

El calcio lo determinamos en las soluciones centrifugadas después de cada tiempo de agitación. El método es volumétrico, y se basa en el poder de quelación con respecto al calcio del ion E. D. T. A.

Este quelato se ha representado de la forma



y su constante de estabilidad fué dada por Garini y Martell (33).

Esta volumetría es un método de retroceso. A 10 ml. de pro-

bloca se le añaden 2,5 ml. de solución de KOH aproximadamente 1 N, diluyendo con unas 10 ml. de agua destilada. Después se añaden 3 ml. de E. D. T. A. exactamente 0,01 N, y tres gotas del indicador fluorescente calcein, con lo que el problema adquiere un color salmón. Con microbureta se añade una solución 0,01 N en Cl₂O₈ hasta color verde fluorescente, debido a un ligero exceso de calcio en la solución.

Los reactivos usados son los siguientes:

- Solución 0,01 N de cloruro cálcico de factor conocido.
- Solución exactamente 0,01 N de E. D. T. A. (etilen-diamino-tetra-acetato disódico deshidratado).

Solución aproximadamente 1 N de KOH.

Solución indicador Calcein, preparada disolviendo 1 g. del indicador fluorescente metílico calcein, fabricado por Hopkin & Williams Ltd. en acetato códico (3 g. en 150 ml. de agua), se agita y se deja echar una noche. A la mañana siguiente se añade Cl₂O₈ 1 N gota a gota hasta formación de un precipitado permanente. A este precipitado se añaden 2 g. de carbón activo y el conjunto se filtra a la trocha con papel puro número 640d. El filtrado se lleva a 250 ml. con agua. La solución resultante es indefinidamente estable si se guarda de la luz, y una porción de ella diluida diez veces constituye el indicador y ha de ser preparada cada día que se use.

Determinación del contenido en carbonato cálcico de los aceites.

Se emplean 10 g. de aceite conteniendo hasta 30 % de carbonato cálcico. Se añade Cl₂O₈ hasta que una nueva adición no produce desprendimiento de gases. Estos gases se retogen sobre una

columna líquida que no disuelve CO_2 ; una diferencia de nivel proporcional a la cantidad de CO_2 originado, con las correcciones debidas a la presión y temperatura indica el porcentaje de carbonato del suelo.

En suelos con más del 30% de carbonato calcico la cantidad de partida oscila entre dos y cinco gramos.

Estas determinaciones fueron realizadas en el Centro de Ecología y Biología Aplicada de Querétaro por el Dr. Raúl Roque Romero, a quien estamos muy agradecidos, y los resultados aparecen en la tabla I expresados como $\text{CO}_3\text{Ca} \%$.

Determinación del contenido en arcilla de los suelos. -

10 g. de suelo se hierven con agua oxigenada de 30 v/v. hasta que la efluviencia sea, lo que indica eliminación total de la materia orgánica, y se añaden 4 ml. de ClH 1:10 por cada 1% de carbonato calcico que el suelo contenga. En estas condiciones se deja el suelo en reposo 24 horas, para estar seguros de que todo el carbonato ha sido destruido.

El suelo así tratado se lava con 125 ml. de ClH 0,5 N y con agua hasta filtrados libres de cloruros.

El suelo se pasa a una botella de agitación con 5,5 ml. de sulfuroso concentrado, completando hasta 500 ml. con agua destilada. Se agita durante una noche, después de lo cual se deja en reposo durante 5 horas, al cabo de las cuales se toma con pipeta una muestra de 20 ml. a una profundidad desde el nivel del líquido de 6,25 cm. 1

La pipeta se desvarga en una cápsula. El contenido de ésta se calienta despacio hasta sequedad, primero en baño de arena y después en estufa hasta peso constante. La fracción en peso del total

que representa el residuo seco, descartados carbonatos, nos da el porcentaje de arcilla en el suelo. Los valores obtenidos aparecen en la tabla I como arcilla %.

Estas determinaciones fueron realizadas además por el Dr. Romero, por el método del hidrómetro de cadena. Una caja dispersante 10 ml. de solución preparada disolviendo 37,7 g. de metafosfato sodico y 7,45 g. de carbonato sódico en un litro de agua destilada.

Por ambos métodos y al eliminar el carbonato sódico de los suelos antes de determinar su contenido en arcilla, los resultados obtenidos son de una gran concordancia.

Determinación de pH en las suspensiones.

De cada frasco en que se ha realizado el cubito isotópico se retiraron por centrifugación hasta 75 ml. de solución en los que se determinó 33^{p} , 32^{p} y calcio, como se ha indicado anteriormente. La fracción restante de 25 ml. con los 0,5 g. de suelo se vienen en un vaso de precipitado y en él se determina el pH de la suspensión resultante. La medida la realizamos un minuto después de introducir los electrodos en la suspensión. Durante este tiempo mantuvimos en agitación el probeta mediante un lento movimiento de rotación del vaso.

El aparato empleado para estas medidas es un Beckman modelo 620B.

Los electrodos son uno de calomel y otro de vidrio, ambos fabricados anteriormente por Beckman.

La solución tampón empleada para el calibrado del aparato tiene un pH de 7,00 y se prepara con 50 ml. de la solución A y 950 ml. de solución B:

Solución A: Borax 0,05 N.

Solución B: Ácido bórico 0,20 N.

IV. RESULTADOS Y DISCUSIÓN

En las tablas IV, V y VI aparecen los resultados experimentales de 6 suelos estudiados por el primer procedimiento de cambio isotópico en la sección de métodos experimentales.

En ellos aparecen para cada suelo el número del experimento realizado, el tiempo de agitación en horas de cada experimento, el pH de cada suspensión y las concentraciones de calcio (milioles /100 ml.), de ^{32}P (γ p/100 ml.), de ^{32}P (c.p.m.), así como la radioactividad tales patrones con que se confrontó cada experimento. A continuación se da el cociente de actividad (I_2) de cada experimento respecto a su patrón correspondiente y la actividad específica (A.E.) de cada caso.

Se ha elegido un suelo al menos de cada clase para hacer este tipo de cambio isotópico. En las tablas correspondientes se observa que la actividad específica sufre una disminución regular al aumentar el tiempo del cambio isotópico para cada suelo. La actividad específica disminuye 6 veces su valor para los suelos Se - 7, Se - 8 y Se - 10 y aproximadamente dos veces para los suelos Se - 9, Se - 12 y Se - 14. Observando la variación, a través de los diferentes tiempos de agitación, de la actividad específica, ha sido posible concluir que los suelos más arenosos correspondientes a las muestras Se - 7, Se - 8, Se - 9 y Se - 10 cambian más lentamente en conjunto, que los suelos más pesados Se - 12 y Se - 14.

Los suelos más ligeros son los que tienen más carbonato calcio, Tabla I, con una media de 29,5%. Estos suelos son los que poseen menor arenaña con un valor medio de 15,8%. Debido a ello sólo el 34,7% de su fósforo labil se moviliza rápidamente. En el otro

卷之三

卷之三

TIA 67003

entre los suelos Se- 13 y Se- 14 son los más pescados con una media de 24% de carbonato efílice y 28,7% de contenido en arcilla. Como consumen más de ello haría un 54,5% de su fósforo labil se moviliza rápidamente confirmando plenamente que los suelos que poseen más arcilla posean mayor proporción de fósforo labil y rápidamente cambiante.

Del estudio del tiempo que necesita para cambiar 1 mg. de P₂O₅ velocidad de cambio, se deduce que es mucho más rápido el cambio isotópico para los suelos ligeros, Se- 7, Se- 8, Se- 9 y Se- 10, que para los suelos pesados Se- 13 y Se- 14. Este factor de la velocidad de cambio es además independiente de la cantidad absoluta de fósforo labil que tenga un suelo y sólo depende de la variación en el tiempo de la actividad específica las muestras estudiadas.

Al realizar este tipo de cambio isotópico con una muestra al menos de cada tipo de suelo estamos seguros de haber investigado al máximo detalle la forma propia en que se realiza el cambio isotópico en cada caso.

En las tablas VII, VIII y IX aparecen todos los datos experimentales correspondientes a los nueve suelos estudiados usando el segundo procedimiento de cambio isotópico. Se hicieron duplicados de cada experimento en cada tiempo de agitación.

En este caso no se puede calcular la variación con el tiempo de la actividad específica de la solución por lo que estos libros acaban con el cálculo del cociente de actividades f_1/f_2 .

En total se han realizado más de setenta agitaciones de diferentes distintas durante tiempos que llegan hasta las 270 horas. Estos tiempos tan largos de agitación fueron necesarios para aquellos suelos en los que el cambio isotópico mostraba que el fósforo labil se moviliza más lentamente. Solo en el caso del suelo Se- 13 el tiempo largo de agitación baja de las 200 horas y esto de-

卷之三

Nº. ensayo		Tiempo(s) en minuto(s)		A.P./ideal		C.P./ideal		C.P.		C.P.C.	
Se-7	81	18	0,06	0,045	5,4	4,866	9,134	0,333	0,245	0,971	1,02.
Se-7	82	216	0,30	0,024	6,0	2,674	7,308	0,393	0,149	0,721	1,02.
Se-8	12	19	-	0,044	3,8	2,885	11,623	0,333	0,245	0,971	1,02.
Se-8	16	264	0,10	0,060	3,8	1,747	-	0,333	0,245	0,971	1,02.
Se-9	20	184	-	0,040	3,8	5,899	11,495	0,313	0,237	0,933	1,02.
Se-9	24	216	0,30	0,035	4,0	1,537	4,843	0,315	0,237	0,933	1,02.
Se-9	29	264	0,10	0,060	3,8	1,747	-	0,333	0,245	0,971	1,02.

Tabla VIII

Nº. suelo experimento tiempo agitacion(h) pH suelos/100ml / 31B/100ml c.p.m. pastos c.p.m.

Se-10	28	18	0.041	3.0	2.879	7.495	0.386
	32	26.4	0.049	4.2	1.329	5.554	0.239
Se-11	69	18	0.049	2.00	3.026	11.081	0.276
	69	18	0.049	1.00	4.152	0.374	
	64	21.5	0.049	0.02	1.076	7.308	0.139
	64	21.5	0.049	1.00	1.021	0.140	
Se-12	44	18	-	0.051	1.08	1.931	0.250
	48	24.0	0.052	2.0	212	1.349	0.157

Se-10: psm 0.60 mg/100g. Sem 3.32. Sem 2.92. Sem 0.95. Psm 1.97. Sem 0.86.
 Se-11: psm 0.50 mg/100g. Sem 2.25. Sem 1.94. Sem 1.04. Psm 0.86.
 Se-12: psm 0.36 mg/100g. Sem 2.17. Sem 1.91. Sem 1.04. Psm 0.77.

bido a haber comprobado antes por el estudio de la muestra Se-14 correspondiente a otra toma del mismo suelo, que en este caso el cambio isotópico transcurre rápidamente.

A partir de los datos del cociente de las actividades del problema y la solución patrón, P_0 , y del fósforo en solución, 32 p/100 ml. , hemos calculado para todos los suelos:

a) la cantidad de fósforo labil P_{d} . Se obtiene que todos estos suelos poseen un contenido en fósforo labil bajo. Este hecho está plenamente justificado dado el pequeño contenido en fósforo total que poseen los suelos.

b) la cantidad de fósforo labil presente en la superficie de los sólidos, P_{ss} . Esta cantidad es similar a P_{d} y sólo se diferencia de ella por la cantidad P_{as} o fósforo en la solución del suelo al iniciar el experimento. Esta cantidad P_{as} se halla extrapolando los datos experimentales de fósforo en solución, $\sqrt{32\text{ p/100ml.}}$, y representa el fósforo que realiza cambio isotópico instantáneamente.

c) las fracciones en que puede dividirse P_{d} según que esté situado en superficie del suelo que ceden su fósforo más o menos rápidamente. Estas fracciones son P_2 o fósforo combinable isotópicamente en forma rápida y P_1 o fósforo combinable isotópicamente en forma lenta. Del estudio de la actividad específica, A. E., de los suelos Se-7, Se-8, Se-9, Se-10, Se-12 y Se-14 y según otros trabajos anteriores (26), (27), se vio, como indicamos anteriormente, que los suelos más arcillosos poseen una mayor proporción de su fósforo labil capaz de movilizarse rápidamente. Esta fracción esté íntimamente relacionada con P_{d} , lo mismo que la parte menos fácilmente movilizable, esté relacionada con P_1 .

Los datos correspondientes a P_{ss} , P_{d} , P_0 , P_2 y P_1 para todos los suelos se encuentran en la tabla I.

Table II

nucleo	P_{tot}	P_x	P_y	P_z	P_x/P_y	P_y/P_z		
Sc-7	1,00	1,00	3,06	0,95	1,00	0,0425	0,332	0,317
Sc-9	0,76	0,50	3,10	2,93	2,01	0,0625	0,536	0,436
Sc-9'	0,76	1,70	2,94	0,72	1,00	0,0407	0,405	0,595
Sc-10	0,60	2,02	3,02	0,96	1,07	0,0630	0,325	0,674
Sc-11	0,50	1,61	2,14	1,04	0,60	0,0375	0,634	0,366
Sc-12	0,36	1,51	2,17	1,06	0,77	0,0473	0,674	0,425
Sc-13	0,30	-	~1,00	1,00	-	0,0320	-	-
Sc-14	0,76	1,00	2,16	1,31	0,68	0,0428	0,943	0,059
Sc-15	0,38	2,24	2,03	1,12	1,12	0,0570	0,500	0,500

Del estudio de estos datos puede deducirse lo siguiente:

Aquellos suelos que poseen más fósforo total poseen más fósforo labil. Esta afirmación se encuentra firmemente sustentada por los datos obtenidos. Asimismo, si observamos con detenimiento la relación $P_L \approx P_T$, fósforo labil - fósforo total, encontramos que para cada clase de suelo P_L y P_T están ligados de una forma unívoca. P_L es el factor de "cantidad" del que se deriva mediante una función compuesta el contenido en fósforo labil de los suelos. Esta función compuesta difiere en cada caso por la clase de suelo. Así vemos que para los suelos arenosos Se = 7, Se = 8 y Se = 9, que son los de menor fertilidad potencial de todos los estudiados en este trabajo, hace falta un contenido de fósforo total de 62,4 mg./100 g. suelo, para disponer de un fósforo labil en el suelo que asciende a solo tan 2,54 mg. P/100 g. suelo. Otros suelos reconocidos en la práctica como más fértils necesitan menos fósforo total para poseer casi el mismo contenido en fósforo labil. Tal es el caso del suelo Se = 12 que posee 2,17 mg. P/100 g. suelo, de fósforo labil proviniente de solo 45,9 mg. P/100 g. suelo de fósforo total.

Para poner mejor de relieve lo dicho anteriormente hemos calculado la cantidad de fósforo labil que se origina a partir de los suelos Se = 9 y Se = 12 suponiendo que ambos tienen el mismo contenido en fósforo total. Haciendo el cálculo propuesto y expresandolo en porcentajes encontramos que el suelo más fertil, Se = 12 posee 16,8% más fósforo labil que el suelo Se = 9, menos fertil.

Según se comentó previamente y se deduce de los datos de la Tabla I los contenidos en fósforo total de los suelos Se = 7, Se = 8, Se = 9 y Se = 10 son más elevados que los correspondientes valores de los otros suelos. Esto dificulta una comparación rigurosa de los valores de P_L para los diferentes tipos de suelos. Dada la fuerte relación existente entre los valores de P_L y P_T hemos creído que

podía estimarse el contenido de fósforo labil de todos los suelos suponiendo que todos poseen por ejemplo 50 mg. P/100 g. suelo. Los datos obtenidos aparecen en la Tabla XI. En esta tabla se dan los valores medios de P_L y P_o y P_o/P_L para cada clase de suelo y juntamente a ellos los valores de P_o y P_o/P_L calculados, para clase de suelo suponiendo que todos tuvieran un valor medio de 50 mg. P/100 g. suelo. El valor P_o/P_L expresa el contenido en fósforo labil de cada suelo por unidad de contenido en fósforo total. Se observa que los valores calculados para P_o/P_L son distintos para cada clase de suelo. Estos valores son la media de tres muestras en el caso de los suelos rojos mediterráneos arenosos y medios de dos muestras para cada uno de los restantes tipos de suelos. Esto quiere decir que los valores obtenidos no son definitivos en forma alguna dada la pequeña población de muestras usadas en el estudio. Sin embargo, el acuerdo existente entre los resultados obtenidos y la fertilidad potencial que la práctica asigna a cada una de las clases de los suelos estudiados, pone de manifiesto la bondad del método usado.

Así los datos de la Tabla XI nos dicen que si todos los suelos estudiados poseyeran 50 mg. P/100 g. suelo el suelo rojo mediterráneo arenoso representado por las muestras Se - 7, Se - 8 y Se - 6 sólo poseen un valor del cociente P_o/P_L de 0,0349; la arcillo-rentina representada por las muestras Se - 10 y Se - 11 poseen un valor del cociente P_o/P_L de 0,0372 superior al anterior, como corresponde a su mayor fertilidad; el Lehm margoso bético representado por las muestras - 12 y Se - 13 posee un valor para el cociente P_o/P_L de 0,0407. Este valor quizás sea pequeño si tenemos en cuenta que el valor correspondiente al fósforo labil P_L del suelo Se - 13 es anormalmente bajo y solo aproximado. El suelo Se - 13

Tabla II

Nº. ciclo	Valores medios experimentales	Valores medios calculados
Se-7, Se-8, Se-9	P_b 71,9 P_a 3,56 P_a/P_b 0,0495	50,0 2,46 0,0349
Se-10, Se-11	P_b 61,2 P_a 2,53 P_a/P_b 0,0456	50,0 2,51 0,0372
Se-12, Se-13	P_b 49,4 P_a 1,93 P_a/P_b 0,0401	50,0 1,96 0,0407
Se-13	P_b 45,9 P_a 2,17 P_a/P_b 0,0473	50,0 2,30 0,0515
Se-14, Se-15	P_b 47,7 P_a 2,39 P_a/P_b 0,0500	50,0 2,50 0,0524

ha presentado la dificultad de dar a la extracción después de 213 horas de agitación un valor de sólo 0,1 mg. P/100 g. suelo, menor que el valor correspondiente a las 18 horas de agitación como se deduce de los valores de la Tabla III. Este resultado es anormal y solo puede explicarse suponiendo que la muestra analizada ha adsorbido fósforo de su propia solución. Considera que sea o no motivo, el caso es que en estas circunstancias hay posibilidad y no demasiado fundamento teórico para asignar un valor concreto al dato no obtenido para el fósforo labil de este suelo. Por esto indicamos en la Tabla I que el valor de P_g 1,69 para el suelo $g_0 = 13$ es sólo aproximado. Si solo tenemos en cuenta el valor obtenido para el suelo $g_0 = 12$ el cociente P_e/P_g sube en el cálculo anterior hasta un valor de 0,0515. Tanto este valor como el obtenido a partir de los datos del fósforo labil de las dos muestras $g_0 = 12$ y $g_0 = 13$ es grande como corresponde a la alta fertilidad de este tipo de suelos; por último el valor del cociente P_e/P_g de la tierra negra representada por las muestras $g_0 = 14$ y $g_0 = 15$ es 0,0626, superior a todos los anteriores, que calificaría las tierras negras como las más fertiles, con respecto a su capacidad de保留izar fósforo, de todas las aquí estudiadas.

La fig. 3 representa de una forma convencional la fertilidad comparativa, respecto a su facilidad para ceder fósforo, de los cuatro tipos de suelos estudiados y resume en forma gráfica lo dicho anteriormente. En esta figura aparece de puntos el valor de P_e/P_g correspondiente a la muestra $g_0 = 12$.

En la Tabla I aparecen así-mismo los valores del fósforo disponible isotópicamente situado en la superficie del suelo, P_s . Este valor es parecido al P_g y la diferencia entre ambos nos da P_{ss} , fósforo en la solución del suelo al tiempo cero del cambio

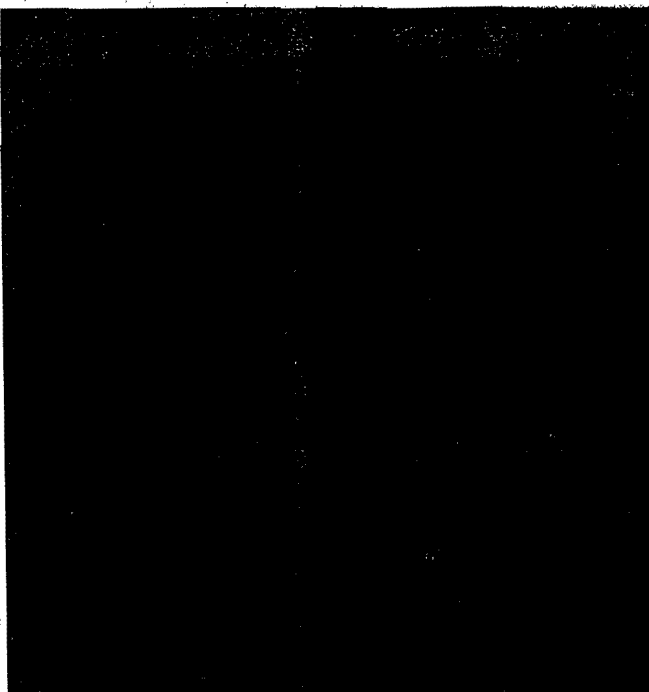


Fig. 3

isotópico o fósforo que cambiaría isotópicamente de forma importante. Se observa del estudio de los valores de P_{23} de la Tabla I que estos suelos poseen una cantidad muy pequeña de fósforo en la solución del suelo. Esto se debe al ^{contenido} deficitario de F_2 de estos suelos. Puedo sacarre una conclusión de estos datos. Los suelos más arrojones, mientras $23 = 7$, $22 = 2$, $20 = 12$, $21 = 10$ y $24 = 11$ son los que poseen valores más altos de P_{23} . Esto se explica fácilmente si pensamos que cuanto menor superficie adquiere para un suelo menor evolucionaría los fosfatos a ellos añadidos, y este es precisamente el caso de los suelos arenosos.

En la Tabla I aparecen los datos del fósforo cambiante isotópicamente en forma rápida P_y y en forma lenta P_l . Estos dos valores son fracciones del fósforo labil de los suelos, según indicaciones anteriores y están relacionados con la superficie de los suelos. P_y cambia isotópicamente con una rapidez que P_l y por tanto estará menos retenido por el suelo. Los suelos calizos retienen a un fosfato soluble originando fosfatos calcicos cada vez

48

mas básicos. Aquellas superficies de los suelos que posean una actividad alta de iones calcio, como las superficies de carbonato calcico, originaran fosfatos poco solubles y por tanto excretados isotópicamente en forma lenta. Otros superficies que posean menor actividad de iones calcio, como las arcillas de los suelos calizos, originaran fosfatos combustibles isotópicamente en forma rápida.

Por otra parte P_y , como $\frac{P_1}{P_2}$ partes del fósforo superficial P_y dadas en la Tabla I los valores de las fracciones P_y/P_2 y P_1/P_2 que indicarán respectivamente la cantidad de fósforo combustible isotópicamente en forma rápida y lenta que tiene cada suelo por unidad de fósforo superficial. Los suelos estudiados según sean mas pesados o mas arenosos poseen cantidades distintas de arcilla y carbonato calcico. Hemos hallado la media de estas cantidades para las muestras de cada tipo de suelo. Los resultados aparecen en la Tabla III comparados con las medias de los cocientes P_y/P_2 y P_1/P_2 . De suenan se deduce que cuanto mas carbonato calcico posea un tipo de suelo, mayor es el valor del cociente P_1/P_2 . Tambien es cierto que los valores medios para cada tipo de suelos de su contenido en arcilla y de P_y/P_2 crecen paralelamente. Estas relaciones lineales ponen de signifio que el fósforo combustible isotópicamente en forma rápida P_y se asienta sobre la superficie de la fracción arcilla de los suelos, y que P_1 y carbonato calcico están tambien relacionados.

Supresio al comparar los valores de P_y y P_1 con los correspondientes de calcio en solución de las Tablas VII, VIII y IX que la labilidad del fósforo de estos suelos es independiente de la cantidad de calcio movilizable en cada suelo por el medio en que se hace el cambio isotópico. Los suelos que tienen mas calcio en solución son los mas pesados. Este calcio debe provenir de las arcillas de estos suelos, por ser similares los contenidos

TABLA XII

E^o, modo 10

Valores medios experimentales

Se-7, Se-8, Se-9

CO ₃ O ₄	20,7
P ₁ /P ₀	0,516
arcilla	15,3
P ₂ /P ₀	0,474

Se-10, Se-11

CO ₃ O ₄	26,4
P ₁ /P ₀	0,520
arcilla	16,3
P ₂ /P ₀	0,479

Se-14, Se-15

CO ₃ O ₄	25,6
P ₁ /P ₀	0,501
arcilla	34,0
P ₂ /P ₀	0,484

dos en carbonato calcico de todos ellos. Sin embargo, son estos suelos los que poseen mayor efecto P_y en relación con las arcillas P_y , según se mostró anteriormente. Esto muestra que P_y es una propiedad de las superficies y de la "presión" del calcio en ellas, pero no de su concentración. Lo mismo podría decirse respecto al contenido en calcio y carbonato calcico de los suelos estudiados. Los suelos más ligeros son los que poseen menor carbonato calcico y una P_y relacionada con él, a pesar de poseer menos calcio en solución.

V. CONCLUSION

- * Existe una gran relación entre el fósforo total y el fósforo labil para cada clase de suelo. Al comparar diferentes clases de suelos la influencia del fósforo total sobre el fósforo labil se superpone a otras propiedades, de tal forma que los valores obtenidos son erráticos. Pero si calculamos el fósforo labil correspondiente a cada suelo para una cantidad fija de por ej., 50 mg. P_T/100 g. suelo, vuelve a mostrarse la influencia de la clase de suelo sobre la relación fósforo total - fósforo labil.
- * Una clara sola se muestra la influencia de la clase de suelo sobre la cantidad de fósforo labil originada a partir de una determinada cantidad de fósforo total, cuando hallamos el cociente P_L/P_T este cociente lo hemos llamado fertilidad fosfatada potencial de un suelo. Expresa cuánto fósforo labil es capaz de dar una muestra de un suelo particular por unidad de su fósforo total. Al hallar el valor medio de P_L/P_T para todas las muestras de cada tipo de suelo estudiado observamos que se puede establecer una relación directa entre el valor P_L/P_T de cada suelo y la fertilidad que en la práctica se reconoce a los suelos de cada tipo. Esta relación obtenida con medias resultantes del estudio de un número reducido de muestras para cada suelo, puede ser de un interés grande por lo que se piensa ampliar este trabajo en este sentido, en el futuro.
- * Se obtuvo la cantidad de fósforo superficialmente fijable isotópicamente P_S y se fraccionó esta cantidad en sus componentes cambiables isotópicamente a distintas velocidades P_T y P_L.

Estas magnitudes se encuentran en estrecha relación con los contenidos en arcilla y carbonato calcico de los suelos estudiados. Cuando hallamos la media del fós-foro superficial que cambia rápidamente P_1/P_2 , en las distintas muestras de cada tipo de suelo encontramos que cuanto más pesado sea un suelo mayor cantidad de fósforo, expresado como P_1/P_2 , tiene el suelo. Esto muestra que el fósforo más fácilmente available se encuentra ligado con la fracción arcilla de los suelos. Este fósforo no depende de la cantidad de calcio que existe en el medio en que se realice el cambio isotópico sino de la superficie, la de las arcillas, sobre la que se asienta.

Algo parecido puede decirse al comparar el cociente P_1/P_2 , fósforo superficial que cambia lentamente, y el contenido en carbonato calcico, de los suelos estudiados. Los valores medios para los contenidos en carbonato calcico de las muestras de cada tipo de suelos presentan una relación casi lineal con los valores correspondientes del cociente P_1/P_2 .

Estas relaciones sólo pueden establecerse con seguridad absoluta cuando son resultado de un número grande de observaciones. Hecho de que con el limitado número de muestras estudiadas no obtengan valores concordantes con los datos obtenidos en otras investigaciones para mayores poblaciones, demuestra la bondad de los datos obtenidos.

BIBLIOGRAFIA

- 1) FULLER, W. R. y MC GOWAN, H. T. 1931. Phosphate in saline -
alkaline Arizona soils. II. Organic phosphorus
content. Soil Sci. Vol. 45-50.
- 2) CHID, D. M. 1935. Organic phosphorus in calcareous Colorado
soils. Master's thesis.
Colorado Agricultural and Mechanical College.
Fort Collins. Colorado.
- 3) HEVESI, L., LINDSTROM-LARZ, K. y OLSEN, S. 1936. Atomic
dimensions of plant growth.
Nature. Vol. 137-138.
- 4) MAULDSMEYER, H.A., DEAN, L.A. y HEDRICKS, S.B. 1947.
Exchange reactions between phosphate and soil
hydroxyl surfaces of soil minerals.
Soil Sci. Soc. Amer. Proc. 11: 119-22.
- 5) MCKAY, H. 1938. Kinetics of exchange reactions.
Nature 142: 897.
- 6) GLASSCOCK, S., LAIDLAW, K.J., y EYRING, H. 1941. The theory
of rate processes. McGraw-Hill Book Company,
Inc. New York.
- 7) WILD, A. 1950. The retention the phosphates by soils.
J. Soil Sci. 1, 251-28.
- 8) DEAN, L.A. 1949. Fixation of soil phosphorus.
Advanc. Agron. 1, 361-411.
- 9) KURTZ, L.T. 1953. Inorganic phosphorus in and natural soils.
Soil and Fertilizer Phosphorus in Crop Nutri -
tion. Agronomy vol. IV. Editado por H.H. Pie -
rce. Academic Press Inc. Publishers New York.
- 10) OLSEN, S.B. 1953. Inorganic phosphorus in alkaline and sal -
calcareous soils. Soil and Fertilizer phosphorus
in Crop Nutrition. Agronomy vol. IV.
Editado por H.H. Pierce. Academic Press Inc.
Publishers. New York.
- 11) HENWALL, J.B. 1957. The fixation of phosphorus by soils.
Advanc. Agron. 8: 95-112.
- 12) HERZIG, W. 1953. Radionukleotid in der Landwirtschaftlichen
Forschung. Phosphor. 13, 222-30.
- 13) DEAN, L.A. 1955. Applications of radioactivity to the study
of soil and fertilizers.
Proc. Int. Conf. Atomic Energy (Cisbra).
12, 89-97.

- 14) MATTINGLY, G.E.G. 1957. The use of the isotope ^{32}P in research work on soil and fertilizer phosphorus. Soil and Fertilizers. 20, 63-68.
- 15) BARBIER, G. 1956. Introduction à l'étude des phosphates dans les sols. Thèse, école Sup. Agric. Soil Sci., N. 327-1956.
- 16) ARANHARRI, P. 1964. Ciclo isotópico de fósforo en suelos salinos: justificación y saliente. An. Edaf. y Agro. XXXII, 612-23.
- 17) TALINOVICH, G. y MATTINGLY, G. 1960. Report of the Rothamsted Experimental Station. Pag. 261.
- 18) JENK, R. 1941. Factors of soil formation. McGRAW-HILL Book Company, Inc. New York.
- 19) PERKINS, A.T. y KING, H.H. 1942. Phosphate fixation by soil minerals. Soil Sci. Soc. Amer. Proc. 15, 89-101.
- 20) FRIDMAN, J.J., GASTUCHE, H.O. y VAN CAMPENHOUT, G. 1954. Les groupes hydroxyles des surfaces de la kaolinite et sa capacité d'échange ionique. V Congr. Int. de Ciencia del Suelo. Leopoldville, 2, 401-22.
- 21) KLECHKOWSKI, I.M. y ZHURAVSKAYA, G.N. 1961. Fixación del fósforo por arcillas. Doklady Akad. Nauk SSSR. 78, 843-6.
- 22) WEX, R. 1955. Etude de la rétention des anions phosphoriques par les argiles: montmorillonite et kaolinite. These Doctoral. Resultado de Ciencias. Strasbourg.
- 23) BOISCHOT, P., COPPIET, H. HERBERT, J. 1949. Fixation de l'ion phosphorique sur les sables calcaires de sols. Ann. Agron. 1, 107-12.
- 24) OLSZEK, S. R. y MATANAKI, T.S. 1957. A method to determine a phosphorus adsorption maximum of soils as measured by the Langmuir isotherm. Soil Sci. Soc. Amer. Proc. 21, 144-9.
- 25) TALINOVICH, G. y ARANHARRI, P. 1964. The influence of the amount and the origin of calcium carbonates on the isotopically exchangeable phosphate in calcareous soils. J. Agric. Sci. 92, 93-7.
- 26) ARANHARRI, P. 1964. Clases de fósforo inorgánico cambiante isotópicamente en los suelos salinos (II). An. Edaf. y Agro. XXXII, 11-23.
- 27) ARANHARRI, P. 1964. Clases de fósforo inorgánico cambiante isotópicamente en los suelos salinos (III). An. Edaf. y Agro. XXXII, 133-51.

- 28) SCHOFIELD, R.E. 1955. Can a precise meaning be given to "Available" soil phosphorus? *Soil and Fertilizers*. **18**, 573-8.
- 29) CENTRO DE EDAPLICIA Y BIOLOGIA APLICADA DE CUARTO. C. S. I. C. Septiembre 1961. Estudio edafológico-agrícola de los suelos de la finca "Hato Pablos".
- 30) ARANBARRI, P. 1960. Clases de fósforo inorgánico disponible isotopográfico en los suelos calizos. Tesis Doctoral. Facultad de Ciencias. Sevilla.
- 31) THIGS, E. Y MEYER, A.H. 1929. Improvements in the Benign colorimetric method for phosphorus and arsenic. *Indust. Engng. Chem. (Anal. Ed.)* **1**, 136.
- 32) BANNICK, W.C. 1950. The photometric determination of phosphorus in fertilizers with the phospho-vanado-molybdate complex. *J. Soil. Food Agr.* **1**, 172-3.
- 33) CARINI, F.F., Y MARTINEZ, A.S. 1952. The effect of the potassium chloride on the equilibrium between ethylene-diamine-tetra-acetate and calcium ions. *J. Amer. Chem. Soc.* **74**, 5745-6.